



بررسی تاثیر ذرات نانورس بر مورفولوژی و جذب رنگ الیاف کامپوزیتی پلیپروپیلن / نایلوون ۱/۶

پلیپروپیلن مالئیک اینیدرید / نانورس C30B

محمد ابراهیم حیدری^{*}، حسین نازکدست^۲، ابوسعیدرشیدی^۱، اسماعیل یزدانشناس^۳

چکیده

تلashهای زیادی جهت اصلاح خواص الیاف پلیپروپیلن (PP) و جایگزینی آن با دیگر الیاف مصنوعی نظری پلیآمید^۶ (PA6) و پلی استر (PET) انجام گرفته است. پلیپروپیلن لیفی با ریسندگی راحت، نقطه ذوب پایین و بی‌تمایل به جذب رطوبت و رنگ است، بر عکس لیف نایلوون دارای نقطه ذوب بالا، تا حدودی جاذب رطوبت و توانایی ایجاد پیوند با رنگها می‌باشد. اختلاط این دو لیف با یکدیگر و تهیه آلیاژ در حضور یا عدم حضور سازگارکننده از جمله تکنیک‌های اصلاح آنها می‌باشد. با توجه به گسترش استفاده از ذرات نانو و خواص منحصر بفرد ذرات نانورس، اصلاح خواص پلیپروپیلن با آن و تهیه نانوکامپوزیتها بسیار مورد مطالعه و بررسی قرار می‌گیرد.

در این مقاله تاثیر ۱ و ۲ درصد نانورس (Closite30B) اصلاح کننده سطح، در دو نسبت اختلاط ۸۰/۲۰ و ۶۵/۳۵ در حضور یا عدم حضور سازگارکننده پلیپروپیلن مالئیک اینیدرید (PPgMAH) بر روی تشکیل و توسعه ریزساختار میکروفیبریل در آلیاژها بر پایه PP/PA6 و رنگپذیری الیاف حاصل از آنها بررسی شده است. نتایج نشان می‌دهد که تغییر درصد نانورس و سازگارکننده باعث کنترل ابعاد فاز دیسپرس نایلوون^۶ در ماتریس می‌گردد و همچنین باعث توانایی جذب رنگزای اسیدی می‌لینگ در آلیاژها می‌گردد، که البته تاثیر حضور ذرات نانورس در جذب رنگرا بیشتر از سازگارکننده می‌باشد.

کلمات کلیدی: الیاف آلیاژی، نانو کامپوزیت، پلیپروپیلن، پلیآمید، مورفولوژی و رنگرزی الیاف.

Abstract

A number of studied have been performed to improve the properties of polypropylene (PP) fibers and replaced it with another synthetic fibers such as polyamide 6 (PA6) and polyester (PET). PP fiber is a polymeric material with low melting point temperature and easily melts spinning process that do not have any affinity to absorb of moisture and dyes, on the contrary PA6 fiber is a polymer with high melting point temperature, moisture absorbency and ability to bounding with dyes. Combination of these two fibers in the presence or absence of compatibilizer is known as one of the effective methods for modification of their properties. According to the widespread application and extraordinary properties of nano organoclay, modification of PP polymers and subsequently manufacturing of their nanocomposite have been extensively an attractive topic for scientific and researching groups.

The aim of the present paper was to study the effect of organically modified agent (Closite3B) and compatibilizer on microfibrillar morphology development and dye ability of PP/PA6 nanocomposite fibers. The PP/PA6 blend samples with 80/20 and 65/35 blend ratio and variable organoclay (C30B) content (1, 2%) were prepared with and without compatibilizer. The results showed that the average particles size of PA6 disperse phase and dye ability of composite fibers were controlled by amounts of nanoclay and compatibilizer. Our observation revealed this fact that the organoclay (C30B) is more effective than compatibilizer on absorption of dyes by nanocomposite fibers.

Keywords: Composite fibers, nanocomposite, Polypropylene, Polyamide6, Morphology, Dyeing.

۱. گروه مهندسی نساجی، دانشکده فنی مهندسی، دانشگاه آزاد اسلامی واحد علوم و تحقیقات تهران، ایران.

مسئول مکاتبات: Haidary11@yahoo.com

۲. دانشکده پلیمر، دانشگاه صنعتی امیرکبیر، تهران، ایران.

۳. دانشکده نساجی، دانشگاه آزاد اسلامی واحد یزد، ایران.

۱. مقدمه

با افزایش جمعیت جهان و محدود بودن الیاف طبیعی نظیر پنبه، پشم، ابریشم و غیره، استفاده از الیاف مصنوعی رشد صعودی داشته است. قیمت مناسب الیاف مصنوعی، فرآیند پذیری راحت، تنوع تولید و عدم محدودیت، کاربرد این دسته از الیاف را بیش از بیش وسیع تر نموده است. پلیپروپیلن (PP) و پلی آمید ۶ (PA6) از جمله الیاف مصنوعی هستند که کاربرد زیادی دارند [۱].

پلی پروپیلن پلیمری با فرآیند پذیری راحت، عدم جذب رطوبت، و قیمت پایین است. اما این لیف دارای نقطه ذوب پایین (160°C) و مقاومت نسبتاً پایین در مقابل حرارت و اطوی داغ می‌باشد، همچنین تمایل به جذب رنگرها نداشته و به صورت جرمی (Mass Dyeing) رنگرزی می‌گردد. نایلون ۶ (PA6) به علت استحکام مکانیکی و مدول بالا، توانایی جذب آب و جذب رطوبت مناسب، دمای ذوب (220°C) و دمای تشکیل کریستال بالا به صورت گسترده‌ای در تولیدات مختلف محصولات مهندسی، اتومبیل و الیاف به کار می‌رود. قیمت نایلون ۶ نسبت به پلیپروپیلن بالاتر بوده و فرآیند پذیری‌اش نیز مشکل‌تر است. هر دو پلیمر به روش ذوب ریسی (Melt spinning) به لیف تبدیل می‌شوند [۱، ۲].

آلیاژسازی (Blending) یکی از روش‌های مناسب و کارا جهت اصلاح و بهبود خواص پلیمرها می‌باشد در دو دهه اخیر بهبود خواص الیاف با استفاده از آلیاژ سازی گسترش زیادی یافته است. نایلون ۶ معمولاً با پلیپروپیلن که دارای مدول پایین‌تری است مخلوط می‌شود، لذا علاوه بر بهبود خواص آن باعث کاهش قیمت تمام شده می‌گردد [۳-۷]. به علت ناسازگاری پلیپروپیلن با پلی آمید ۶ آلیاژ آنها دارای خواص مکانیکی ضعیفی بوده و استفاده آنها در کاربردهای مختلف محدود می‌شود. افزایش عوامل مختلف سازگارکننده (Compatibilizer) که اکثر آنها پلیمرهای عامل‌دار شده با مالئیکانیدرید (MAH) یا انیدریداستیک (AA) می‌باشند، موجب بهبود خصوصیات این آلیاژها می‌شود. در طول فرآیند اختلاط مذاب، پلیپروپیلن عامل‌دار شده با مالئیکانیدرید (PPgMAH) همانند پل واسط با پلی آمید و پلیپروپیلن واکنش می‌دهد و لذا پیوندهای قوی بین دو فاز تشکیل می‌گردد [۸-۱۲].

در سال‌های اخیر استفاده از افزودنی‌ها (Additive) با ابعاد نانو به پلیمرها، خواص پلیمرهای خالص و همچنین آلیاژ آنها را بهبود زیادی داده است. از جمله افزودنی‌هایی که کارایی و کاربرد زیادی در صنعت پلیمر و الیاف داشته است نانو ذرات رس (Nano OrganoClay) بوده است. نانو کامپوزیت‌های پلیمر/ خاکرس یک مثال موردی از تکنولوژی نانو هستند. در نانوتکنولوژی اصلاح توده (Bulk) با استفاده از ذرات نانورس، از خاک رس‌های نوع اسمکتیت (Smectice) نظیر مونت موریلوفیت، هکتوریت و میکائی ترکیب شده با ترکیبات آلی به عنوان افزودنی برای بهبود خواص پلیمرها استفاده می‌شود. خاکرس‌های نوع اسمکتیت ساختاری لایه‌ای دارند، اصلی که در تهیه نانو کامپوزیت‌های پلیمر/ خاکرس باید رعایت شود این

است که اولاً دانه‌های نانورس باید از یکدیگر باز شوند و ثانیاً لایه‌های نانورسها به طور موثر از یکدیگر باز شوند، در این حالت است که خواص مورد نیاز پلیمرهای تقویت شده با ذرات نانورس لایه‌ای به طور چشمگیری افزایش پیدا می‌کند [۱۳-۱۵]. نانو کامپوزیت‌ها (Nanocomposites) در مقایسه با پلیمرهای مشابه و کامپوزیت‌های متدائل به دلیل داشتن خواص فیزیکی و شیمیایی مطلوب، کاربرد وسیعی در زمینه‌های مختلف صنعتی و تحقیقاتی دارند و یک روش اقتصادی برای رسیدن به مواد پلیمری جدید با کمترین هزینه و ترکیبی از عملکرد پلیمرهای خالص می‌باشد [۲۰-۲۱].

چگونگی توزیع ذرات نانورس و نحوه قرارگیری آنها درون نانوکامپوزیتها از مهمترین عوامل کنترل خواص نانوکامپوزیتها می‌باشد. اهمیت این موضوع در سالهای اخیر باعث تحقیق در مورد خواص گونه‌ای از نانوکامپوزیتها با نام کامپوزیتهای تقویت شده با میکروفیبرهای (MFC) گردیده است. تهیه MFC‌ها شامل سه مرحله (i) اختلاط (*mixing*) (ii) فیبریلاسیون کامپوزیت تقویت شده‌ای با فیبریلهای طولانی که ذرات نانو در آن توزیع شده‌اند هستند [۲۱-۲۳].

تحقیق حاضر به منظور بهبود فرآیند فیبریلاسیون و خواص رنگ پذیری الیاف آلیاژی PP/PA6 به کمک آلیاژسازی و استفاده از نانو ذرات آلی رس (C30B) انجام گرفته. که جهت رسیدن به این هدف از پلیپروپیلن به عنوان فاز ماتریس و از پلیآمید ۶ به عنوان فاز دیسپرس در دو نسبت ۶۵/۳۵ و ۸۰/۲۰ استفاده شده است.

۲. مواد و آزمایشات

۱.۲ مواد مورد استفاده

به منظور تهیه نانو کامپوزیتها از پلیپروپیلن پایه الیاف با شاخص جریان مذاب g/Cm^3 ۰/۹ و نقطه ذوب $160^\circ C$ محصول شرکت پتروشیمی ارک- ایران با نام تجاری V30S به عنوان فاز ماتریس استفاده شد. پلیآمید ۶ پایه الیاف محصول شرکت Domamide کشور دانمارک با نام تجاری 28 با شاخص جریان مذاب g/Cm^3 ۱/۱ و نقطه ذوب $219^\circ C$ به عنوان فاز دیسپرس تهیه شد. پلیپروپیلن عامل دار شده با درصد مالئیک اندیزید (PPgMAH) با شاخص جریان مذاب g/Cm^3 ۰/۱ و نقطه ذوب $1120^\circ C$ به عنوان سازگار کننده استفاده شد. نانو مصرفی از نوع نانورس آلی لایه‌ای با نام تجاری Closite30B محصول شرکت Southern Clay کشور امریکا بود، این نانورس یک مونت موریلونیت اصلاح شده با چربی متیل- سیس دو هیدروکسی اتیل آمونیوم چهارظرفیتی با ظرفیت تعویض کاتیون $g/100\text{ mequiv}$ ۹۰ بود. نمونه‌ها مطابق با جدول ۱ تهیه شدند.

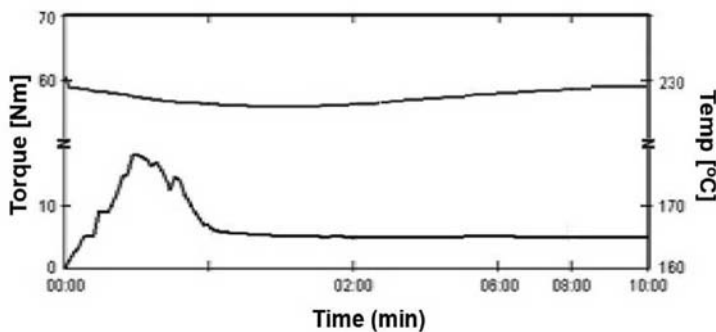
۲.۲. تهیه نمونه‌ها

نمونه‌های آلیاژی و نانوکامپوزیتی PP/PA6 با نسبتهای اختلاط ۸۰/۲۰ و ۶۵/۳۵ حاوی ۱ و ۲ درصد نانورس C30B در حضور و عدم حضور سازگارکننده PPgMAH درون مخلوط کننده داخلی (Internal Mixer) آزمایشگاهی ساخت شرکت برابندر آلمان، مدل W60 با کنترل PL2200، موجود در کارگاه پلاستیک دانشگاه تربیت مدرس با حجم محفظه ۶۰ میلی‌لیتر در دمای ۲۳۰°C به مدت ۱۰ دقیقه با دور موتور ۶۰ rpm مطابق با جدول ۱ با هم مخلوط شدند.

جدول ۱. جدول مواد مصرفی، طراحی و کدگذاری آزمایشات

ردیف	کدنمونه	درصد اجزاء تشکیل دهنده			
		C30B	PPgMAH	PA6	PP
۱	PP	-	-	-	۱۰۰
۲	PP30B	۵	-	-	۹۵
۳	PA	-	-	۱۰۰	-
۴	PA30B	۵	-	۹۵	-
۵	۸۰B	-	-	۲۰	۸۰
۶	۸۰CB	-	۲	۲۰	۷۸
۷	۸۰BN	۱	-	۱۹	۸۰
۸	۸۰CBN	۱	۲	۱۹	۷۸
۹	۶۵B	-	-	۳۵	۶۵
۱۰	۶۵CB	-	۵	۳۵	۶۰
۱۱	۶۵BN	۲	-	۳۳	۶۵
۱۲	۶۵CBN	۲	۵	۳۳	۶۰

کلیه مواد قبل از اختلاط به مدت ۲۴ ساعت در حرارت ۸۰°C درون آون قرار داده شدند تا خشک شوند. در شکل ۱ نمودار گشتاور و حرارت اختلاط در برابر زمان یکی از نمونه‌ها که توسط مخلوط کننده داخلی (Internal Mixer) تهیه شده به عنوان نمونه آورده شده است، همانگونه که ملاحظه می‌گردد حرارت محفظه اختلاط ۲۳۰°C و پس از گذشت یک دقیقه گشتاور به صورت افقی در آمده و بیانگر ذوب کامل پلیمرها می‌باشد.



شکل ۱. نمودار گشتاور و حرارت اختلاط آلیاژها و نانوکامپوزیتها در برابر زمان

۳.۲. ریسندگی الیاف

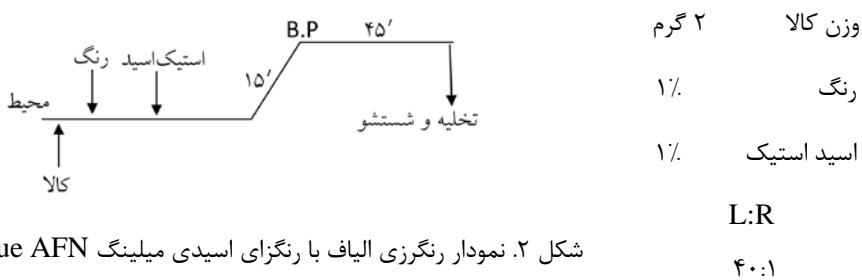
نمونه‌های نانوکامپوزیتی تهیه شده قبل از ریسندگی ابتدا توسط دستگاه خردکن در حرارت محیط به ابعاد گرانول شکسته شدند و به مدت ۲۴ ساعت در حرارت 80°C قرار گرفتند تا خشک شوند. سپس توسط دستگاه ریسندگی آزمایشگاهی (Mini Single Extruder) موجود در آزمایشگاه تولید الیاف پژوهشگاه پلیمر و پتروشیمی تهران با حرارت تغذیه و خروجی 190°C و 200°C به لیف تبدیل شدند و سپس توسط دستگاه کشش تعییه شده در جلوی دستگاه ۵ برابر کشیده شده و به قطر نهایی $2\pm0.05 \text{ mm}$ رسیدند.

۴. آزمونهای کیفی انجام شده

به منظور بررسی فاصله بین صفحات نانورسهای لایه‌ای، طیف‌های پراش اشعه X'pert (WAXD) توسط دستگاه ساخت شرکت فیلیپس مجهز به یک تیوب CuKa و فیلتر Ni با طول موج $\lambda=0.1542 \text{ nm}$ واقع در دانشگاه تربیت مدرس تحت زاویه $2\theta=2-10^{\circ}$ در شرایط 50 Kv و 150 Ma انجام گرفت.

مورفولوژی آلیاژها و نانوکامپوزیتها با استفاده از میکروسکوپ الکترونی روبشی (SEM) شرکت فیلیپس مدل XL30 موجود در دانشگاه تربیت مدرس مورد مطالعه قرار گرفت. جهت تهیه نمونه‌ها، ابتدا آلیاژها ۳۰ دقیقه درون نیتروژن مایع قرار گرفتند و سپس شکسته شدند. سطح شکسته شده با لایه نازکی از طلا پوشش داده شد و زیر میکروسکوپ مشاهده و مورد عکسبرداری قرار گرفت.

فرآیند رنگرزی الیاف آلیاژی و نانوکامپوزیتی با رنگزای اسیدی میلینگ Telon Blue AFN ساخت شرکت Dystar توسط دستگاه نمونه رنگ‌کنی موجود در آزمایشگاه رنگرزی دانشکده فنی مهندسی دانشگاه آزاد اسلامی واحد علوم و تحقیقات تهران مطابق نمودار شکل ۲ انجام گرفت.



شکل ۲. نمودار رنگرزی الیاف با رنگزای اسیدی میلینگ Telon Blue AFN

در ادامه شید رنگی، عمق رنگی و روشنایی نمونه‌های رنگرزی شده توسط دستگاه DataColor انعکاسی تحت سیستم

CIE(L*a*b*) تعیین گردید.

۳. مباحث و نتایج

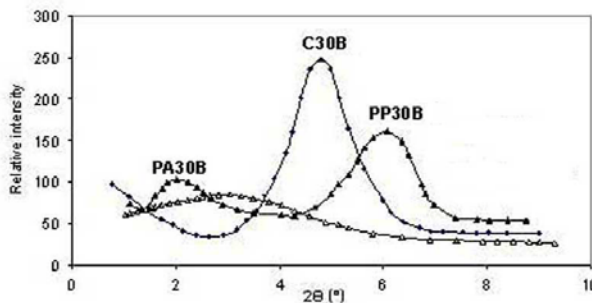
۱.۳ طیف پراش اشعه X (WAXD)

نمودار طیف پراش اشعه X نانورس خالص C30B و نانوکامپوزیتها PA30B و PP30B در شکل ۳ و نتایج حاصل از آن در جدول ۲ آورده شده است. همانگونه که ملاحظه می‌گردد فاصله بین لایه‌ها در نانورس خالص از $18/38 \text{ \AA}$ به $44/06 \text{ \AA}$ آن در جدول ۲ آورده شده است. همانگونه که ملاحظه می‌گردد فاصله بین لایه‌ها در نانوکامپوزیتها و $29/09 \text{ \AA}$ آنگستروم در PA30B و PP30B افزایش می‌یابد و این نشان می‌دهد که فاصله بین لایه‌ها در نانوکامپوزیتها تحت شرایط اختلاط افزایش می‌یابد.

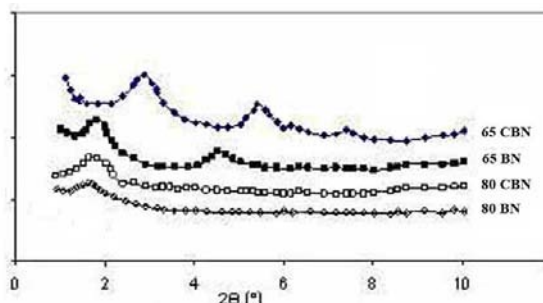
جدول ۲. مقادیر زاویه پیک و فاصله بین صفحه‌ای در نانوکامپوزیتها

پیک دوم		پیک مشخصه اول			
فاصله بین لایه‌ای d (\AA)	زاویه پیک (2\theta°)	فاصله بین لایه‌ای d (\AA)	زاویه پیک (2\theta°)	کدنومونه	ردیف
--	--	18/38	4/8	C30B	۱
14/57	6/06	44/06	2/01	PP30B	۲
--	--	29/09	3/53	PA30B	۳
--	--	49/51	1/79	8·BN	۴
--	--	50/36	1/75	8·CBN	۵
19/56	4/51	48/42	1/82	65BN	۶
16/34	5/40	30/75	2/87	65CBN	۷

پیک اضافی مربوط به نمونه PP30B در محدوده $2\theta=60.6^\circ$ که معادل $d=14.57\text{\AA}$ می‌باشد بیان می‌دارد که مقدار کمی از نانورسها توانسته‌اند باز شوند و به یکدیگر نزدیک شده و لذا فاصله بین لایه‌ای کاهش داشته است. لذا میتوان نتیجه گرفت که ذرات نانو رس C30B با توجه به سازگاری بیشتر با PA6 و لذا توانایی بیشتر اختلاط امکان بیشتری پیداکرده‌اند تا از یکدیگر باز شوند.



شکل ۳. طیف پراش اشعه X مربوط به نانورس خالص Closite30B و نانوکامپوزیتها PA30B و PP30B

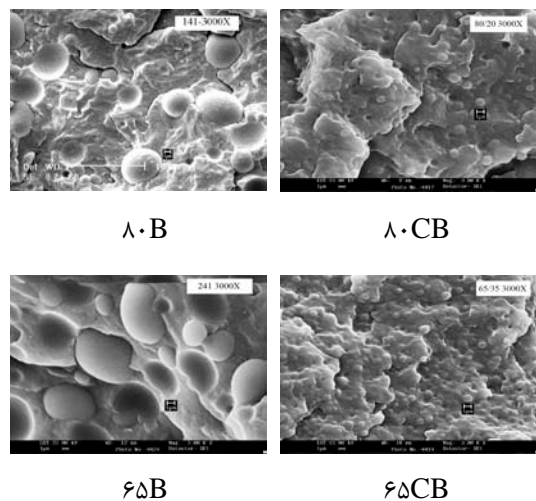


شکل ۴. طیف پراش اشعه X مربوط به نانوکامپوزیتها بر پایه PP/PA6 ۶۵/۳۵ و ۸۰/۲۰

نمودار طیف پراش اشعه X نمونه‌های نانوکامپوزیتی و مقادیر مربوط به آنها به ترتیب در شکل ۴ و جدول ۲ آورده شده است. همانگونه که ملاحظه می‌گردد در کلیه نمونه‌های نانوکامپوزیتی پیک مشخصه مربوط به نانورس خالص C30B محو شده است و پیک کوچکی در زاویه‌های پایین‌تری ایجاد گردیده که دارای ارتفاع کمی نیز می‌باشد و این نشان می‌دهد که در نانوکامپوزیتها آلیاژی لایه‌های نانو (Platelets/ Tactoids) از یکدیگر باز (Stacks) شده‌اند. با توجه به اینکه مقدار نانورس C30B در نمونه‌های نانوکامپوزیتی ۱ و ۲ درصد می‌باشد لذا ذرات نانورس توانسته‌اند در این نوع اختلاط به راحتی به درون آلیاژها نفوذ کرده و آنها را از یکدیگر باز کنند (Exfoliate/ Intercalate).

۳. بررسی مورفولوژی نانوکامپوزیتهای بر پایه PP/PA6/C30B با میکروسکوپ الکترونی (SEM)

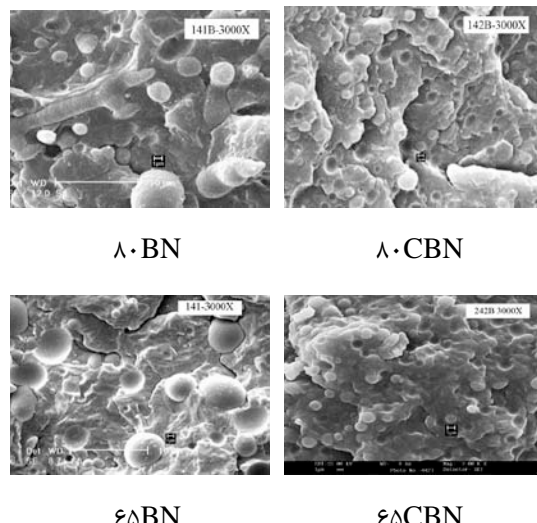
تصاویر SEM توده (Bulk) آلیاژهای فاقد نانورس بر پایه PP/PA6 و ۶۵/۳۵ در حضور یا عدم حضور سازگارکننده PPgMAH در شکل ۵ نشان داده شده است. همانگونه که مشاهده می‌گردد در آلیاژهای فاقد سازگارکننده (۸۰B و ۶۵B) به دلیل قطبی بودن پلی‌آمید ۶ و غیرقطبی بودن پلی‌پروپیلن و لذا ناسازگاری این دو فاز، اندازه ذرات فاز دیسپرس PA6 بزرگ می‌باشد، همچنین با افزایش درصد PA6 از ۲۰٪ به ۳۵٪ اندازه ذرات این فاز نیز بزرگتر می‌گردد. در آلیاژهای با کدهای ۸۰BC و ۶۵BC که از سازگارکننده PPgMAH نیز استفاده شده است اندازه ذرات فاز دیسپرس کوچک بوده و اختلاف در اندازه ذرات فاز دیسپرس دو نمونه نیز کم می‌باشد، این نوع مورفولوژی به دلیل حضور سازگارکننده طبیعی می‌باشد زیرا سازگارکننده به دلیل ساختمان دوگانه قطبی-غیرقطبی که دارد باعث اختلاط بهتر دو فاز با یکدیگر گشته و لذا اندازه ذرات فاز دیسپرس را کوچک می‌نماید.



شکل ۵. تصاویر SEM آلیاژهای ۶۵/۳۵ و ۸۰/۲۰ PP/PA6

همچنین مورفولوژی توده (Bulk) نانوکامپوزیتهای بر پایه PP/PA6/C30B در شکل ۶ نشان داده شده است. همانگونه که مشاهده می‌گردد در نانوکامپوزیتهای فاقد حضور سازگارکننده PPgMAH سازگارکننده با کدهای N و ۸۰BN و ۶۵BN با افزایش درصد فاز دیسپرس PA6 از ۲۰ به ۳۵ درصد افزایش اندازه ذرات فاز دیسپرس PA6 مشاهده می‌گردد. از مقایسه این نمونه‌ها با آلیاژهای ساده فاقد نانو با کدهای ۸۰B و ۶۵B در شکل ۵ دلیل ساختار مشابه ذرات نانورس C30B با سازگارکننده‌ها می‌باشد، زیرا نانورس اصلاح شده C30B دارای یک سر آبدوست

یا قطبی و یک دم چربی دوست یا غیرقطبی می‌باشد که می‌تواند تا حدودی باعث ایجاد پیوند یا سازگاری بین دو فاز قطبی و غیرقطبی گردد.



شکل ۶ تصاویر SEM نانوکامپوزیتهای بر پایه PP/PA6/C30B و ۸۰/۱۹/۱ و ۶۵/۳۳/۲

در نانوکامپوزیتهای حاوی سازگارکننده همانگونه که مشاهده می‌گردد اندازه ذرات فاز دیسپرس بسیار کوچکتر بوده و اختلاف کمی بین اندازه ذرات فاز دیسپرس در نانوکامپوزیتهای بر پایه ۸۰/۱۹/۱ و ۶۵/۳۳/۲ وجود دارد. این نوع مورفولوژی به دلیل حضور سازگارکننده طبیعی می‌باشد زیرا سازگارکننده PPgMAH به دلیل ماهیت قطبی- غیرقطبی قوی باعث اختلاط بهتر دو فاز با یکدیگر گشته و اندازه ذرات فاز دیسپرس را کم می‌نماید.

۳.۳ مقایسه میزان جذب رنگ (K/S) و مشخصات رنگی (L* a* b*) الیاف رنگرزی شده

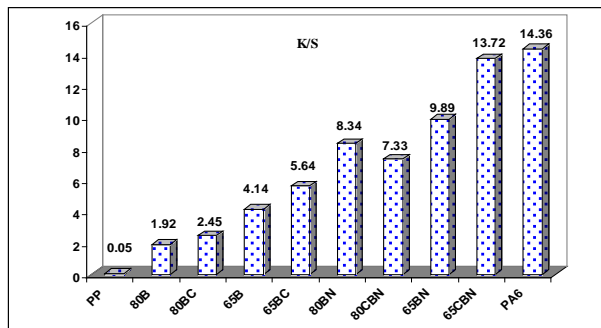
همانگونه که قبله گفته شد آلیاژها و نانوکامپوزیتهای تولیدی در ادامه توسط دستگاه ذوب رس آزمایشگاهی به لیف تبدیل شدند و سپس توسط دستگاه رنگرزی آزمایشگاهی رنگرزی گردیدند. در ادامه مشخصات الیاف رنگرزی شده به منظور مقایسه میزان جذب ماده رنگزای اسیدی میلینگ Datacolor Telon Bue AFN با دستگاه CIE(L* a* b*) تعیین گردید. اطلاعات حاصل از دستگاه کالریمتر انعکاسی در جدول ۳ آورده شده است. به جهت مقایسه بهتر نمونه‌ها مقدار جذب رنگ (K/S) و شید رنگی (a* b*) نمونه‌ها به صورت نمودار در شکل‌های ۷ و ۸ با یکدیگر مقایسه گردیدند. با مشاهده اطلاعات مربوط به دستگاه کالریمتر در جدول ۳ و مقایسه نمودار جذب رنگ (k/s) نمونه‌ها در شکل ۷ مشخص می‌گردد که ترتیب جذب رنگزای اسیدی Telon Bue AFN در نمونه‌ها به صورت زیر است:

$$\text{PP} < 80\text{B} < 80\text{BC} < 65\text{B} < 65\text{BC} < 80\text{CBN} < 80\text{BN} < 65\text{BN} < 65\text{CBN} < \text{PA6}$$

همانگونه که ملاحظه می‌گردد در آلیاژهای با درصد اختلاط ۶۵/۳۵ PP/PA6 حاوی نانورس مقدار جذب رنگزای اسیدی نزدیک به نمونه نایلون ۶ خالص می‌باشد، به عبارتی می‌توان گفت آلیاژهای حاوی نانورس از نظر رفتار رنگرزی بسیار مشابه نایلون ۶ خالص می‌باشند.

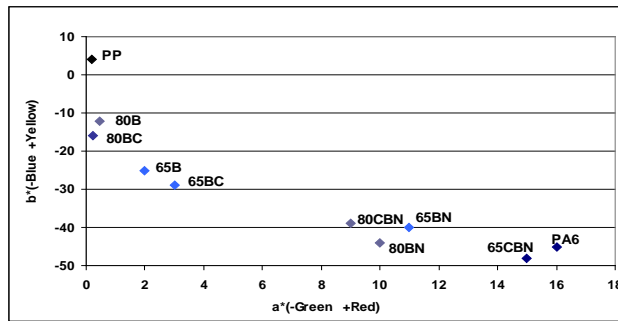
جدول ۳. مقادیر مشخصات رنگی ($L^*a^*b^*$) و جذب رنگ (K/S) الیاف رنگرزی شده

مشخصات											
کد نمونه											
PA6	65CB	65B	65CB N	65B N	80CBN	80BN	80CB	80B	PP	رنگی	
۱۵	۲۹	۳۵	۱۶	۱۹	۲۱	۲۶	۴۹	۵۳	۷۸	L^*	
۱۶	۳	۲	۱۵	۱۱	۹	۱۰	۰/۲۱	۰/۴۶	۰/۱۸	a^*	
-۴۵	-۲۹	-۲۵	-۴۸	-۴۰	-۳۹	-۴۴	-۱۵/۹	-۱۲/۲	۴	b^*	
۱۴/۳۶	۵/۶۴	۴/۱۴	۱۳/۷۲	۹/۸۹	۷/۳۳	۸/۳۴	۲/۴۵	۱/۹۲	۰/۰۵	k/s	



شکل ۷. نمودار میله‌ای مقایسه جذب (K/S) رنگزای اسیدی توسط الیاف

با دقت در اطلاعات آورده شده در جدول ۳ و مقایسه شید رنگی (a^*b^*) نمونه‌ها در شکل ۸ مشخص می‌گردد که ترتیب بالا در جذب رنگ آبی (a^*b^* -)-نیز درست بوده و بیشترین جذب رنگ آبی به ترتیب مربوط به نمونه پلی‌آمید ۶ خالص (PA6) و نانوکامپوزیتهاي ۶۵/۳۵ با كدهای ۶۵CBN و ۶۵BN می‌باشد و کمترین جذب رنگ آبی پس از پلی‌پروپیلن خالص به ترتیب مربوط به آلیاژهای ۸۰/۲۰ با کدهای ۸۰BC و ۸۰B می‌باشد.



شکل ۸. نمودار دکارتی مقایسه شیدرنگی (a^*b^*) الیاف رنگرزی شده با رنگزای اسیدی

به عبارت دیگر بیشترین جذب رنگ پس از پلی‌آمید ۶ خالص مربوط به نانوکامپوزیتها با اختلاط PP/PA6/C30B ۶۵/۳۳/۲ و کمترین جذب رنگ پس از PP خالص مربوط به آلیاژهای فاقد نانو بر پایه ۸۰/۲۰ و ۶۵/۳۵ می‌باشد. لذا می‌توان نتیجه گرفت با آلیاژسازی یا اختلاط پلی‌آمید ۶ قطبی به ماتریس غیرقطبی پلی‌پروپیلن می‌توان در پلی‌پروپیلن تمایل به جذب رنگ ایجاد نمود و با افزودن نانورس و سازگارکننده این جذب رنگ را افزایش داد، البته نتایج نشان می‌دهد که حضور نانورس قطبی Closite30B باعث افزایش بیشتر جذب رنگ نسبت به سازگارکننده می‌گردد.

۴. نتیجه‌گیری

اختلاط پلی‌پروپیلن با پلی‌آمید ۶ یکی از فرآیندهای بهبود خواص رنگپذیری لیف مرکب PP/PA6 می‌باشد. استفاده از ذرات نانورس Closite30B و سازگارکننده PPgMAH در این آلیاژ به بهبود خواص رنگپذیری آنها کمک می‌کند. نتایج حاصل از پراش اشعه X (WAXD) نشان می‌دهد که ذرات نانورس قطبی PA6 در فاز C30B قطبی بهتر باز می‌شود و فاصله بین صفحات نانورس در آلیاژهایی که ۱٪ نانورس داشته‌اند (۸۰/۱۹/۱) بیشتر از آلیاژهایی است که ۲٪ (۶۵/۳۳/۲) نانورس مصرف شده است و سازگارکننده PPgMAH به باز شدن بیشتر این صفحات کمک می‌کند. در بررسی مورفولوژی نانوکامپوزیتها مشخص گردید که استفاده از سازگارکننده بیشترین تاثیر را در کوچک کردن اندازه ذرات فاز دیسپرس PA6 در آلیاژها و نانوکامپوزیتها داشته است. همچنین افزایش درصد فاز دیسپرس از ۲۰٪ به ۳۵٪ باعث بزرگتر شدن اندازه ذرات فاز دیسپرس بالاخص در نمونه‌های بدون سازگارکننده گردیده است. بررسی میزان جذب رنگ الیاف نانوکامپوزیتی و آلیاژی نشان می‌دهد که هرچند آلیاژسازی و استفاده از سازگارکننده باعث افزایش جذب رنگ توسط الیاف می‌گردد ولی استفاده از نانورس، در صورتی که در آلیاژ باز شود، پارامتر موثرتری در جذب رنگ نسبت به سازگارکننده می‌باشد. همچنین هرچقدر درصد فاز دیسپرس PA6 و نانورس C30B در آلیاژها افزایش یابد میزان جذب رنگ الیاف آلیاژی و نانوکامپوزیتها افزایش می‌یابد.

منابع.۵

- [1] R.W.Moncrieff., "Man Made Fibers", Butterworth's Co., England., 1982.
- [2] H. Tavanai., "Man Made Fibers ", Arkan., Isfahan., Iran., 1998.
- [3] F.Afshar Taromi, S.Pourmahdian., "Polymer Formation", Polytechnic., Tehran., Iran., 2003.
- [4] I.A.Tsebrenko, V.A.Pakharenko., Fiber Chem., Vol.23., pp.31., 1999.
- [5] D.R.Paul, C.B.Bucknall., "Polymer Blends", Wiley-Interscience., New York., USA., 1999.
- [6] S.Fakirov, D.Bhattacharyya, R.J.Shields., Colloid.Surf. Part A: Physicochem.Eng., Vol.2., pp.313., 2008.
- [7] W.S.Lyoo, Y.G.Chi, W.S.Ha, B.C.Kim., Int. Polym. Proc., Vol.XV., pp.369., 2000.
- [8] M.Afshari, R. Kotek, M. Haghigat Kish, H. Nazockdast, B.S.Gupta., Polymer., Vol.43., pp.1331., 2002.
- [9] T.Takahashi, A.Konda, Y.Shimizu., Sen-i-Gakkaishi., Vol 52., pp.507., 1996.
- [10] T.Takahashi, A.Konda, Y.Shimizu., Sen-i-Gakkaishi., Vol.52., pp.396., 1996.
- [11] X.Li, M.Chen, Y.Huang., Polym. J., Vol.29., pp.975., 1997.
- [12] I.Grof, O.Durcova, M.Jambrich., Colloid Polym. Sci., Vol.22., pp.270., 1992.
- [13] Y.S.Lipatov, A.E.Nesterov, T.D.Ignatova, D.A.Nesterov., Polymer., Vol.43., pp.875., 2002.
- [14] E.P.Giannelis., Adv. Materi., Vol.8., pp.29., 1996.
- [15] P.C.LeBaron, Z.Wang, T.J.Pinnavaia., Appl. Clay Sci., Vol.15., pp.11., 1999.
- [16] Y.Tang, Y.Hua, R.Zhang, Z.Gua, Z.Wanga, Z.Chenb, W.Fana., Polymer., Vol.45., pp.5317., 2004.
- [17] E.Nazockdast, H.Nazockdast, F.Goharpey., J. Polym. Eng. Sci., Vol.48., pp.1240., 2008.
- [18] W.S.Chow, Z.A.Mohd Ishak, U.S.Ishiaku, J.K.Kocsis., J.Appl.Polym.Sci., Vol.91., pp.175., 2004.
- [19] W.S.Chow, Z.A.Mohd Ishak, J.Karger Kocsis., Macromol.Mater.Eng., Vol.290., pp.122., 2005.
- [20] S.Fakirov, D.Bhattacharyya, R.J.Shields., Colloid.Surf. PartA:Physicochem. Eng., Vol.313., pp.2., 2008.

-
-
- [21] M.Sarkisova, C.Harrats, G.Groeninckx, S.Thomas., Composites Part A., Vol.**35**., pp.489., 2004.
 - [22] K.Friedrich, M.Evstatiev, S.Fakirov, O.Evstatiev, M.Ishii., Comp.Sci.Tech., Vol.**65**., pp.107., 2005.
 - [23] X.Yi, L.Xu, Y.L.Wang, G.J.Zhong, X.Ji, Z.M.Li., Polym.J., Vol.**46**., pp.719., 2010.